

5. МИКРОПРОЦЕССОРНАЯ СИСТЕМА УПРАВЛЕНИЯ ПОЗИЦИОННЫМ ЭЛЕКТРОПРИВОДОМ ПОСТОЯННОГО ТОКА

Широкое применение микро-ЭВМ находят в качестве контроллеров для управления различными объектами и процессами. Это позволяет повысить точность регулирования параметров, улучшить статические и динамические характеристики системы управления, усложнить реализуемые алгоритмы управления. Ниже рассмотрена микропроцессорная система позиционного электропривода постоянного тока /9/, основной задачей которой является регулирование угла поворота выходного вала двигателя рабочего органа механизма.

Структурная схема рассматриваемой системы приведена на рис.5.1. В ее состав входят специализированная микро-ЭВМ и тиристорный электропривод постоянного тока. Аналоговая часть системы управления содержит контуры регулирования тока и скорости. Внешний цифровой контур регулирования положения работает в режиме отработки управляющего воздействия. Система выполнена по принципу подчиненного регулирования, контурные коэффициенты усиления настроены по модульному оптимуму /10/.

Микро-ЭВМ выполняет функции цифрового задатчика положения (ЦЗП) и цифрового регулятора положения (РП). ЦЗП формирует сигнал желаемого закона φ^* отработки заданного перемещения φ_0^* , а также сигналы $\beta_1 T_m \omega^*$ и $\beta_2 T_m^2 \delta^*$, пропорциональные желаемым законам изменения скорости ω^* и ускорения δ^* . Здесь β_1 и β_2 - коэффициенты корректирующих связей; T_m - малая некомпенсируемая постоянная времени контура регулирования тока (принята равной 0,005с).

В качестве желаемых приняты оптимальные по быстродействию законы изменения φ^* , ω^* и δ^* (рис.5.1). Звездочкой обозначены сигналы, связанные с реальными величинами соотношением

$$\omega^* = \omega / \Delta_x,$$

где Δ_x - интервал квантования по уровню координаты X .

Наличие корректирующих сигналов $\beta_1 T_m \omega^*$ и $\beta_2 T_m^2 \delta^*$ позволяет осуществить принцип комбинированного управления по задающему воздействию и улучшить динамические свойства системы /9/.

Связь цифровых выходов микро-ЭВМ с аналоговыми входами регулятора скорости осуществляется через преобразователи код-аналог (ПКА), одновременно выполняющими функцию экстраполаторов нулевого порядка с

фиксацией на период управления T и имеющими передаточную функцию

$$W_{\text{ПКА}} = K_{\text{ПКА}} \frac{1 - e^{-T_p}}{T_p},$$

где $K_{\text{ПКА}}$ - коэффициент передачи ПКА.

Регулятор положения осуществляет линейный алгоритм преобразования. В простейшем случае РП производит сравнение кодов Φ^* и реального значения регулируемой координаты $\Phi_{\text{дл}}^*$, поступающего от датчика положения.

Датчик положения выполнен в виде реверсивного счетчика, осуществляющего подсчет импульсов, поступающих от импульсного датчика (ИД), установленного на валу двигателя (Д). В качестве ИД использован датчик типа ПДФ-3, издающий 600 импульсов на один оборот вала двигателя.

В качестве датчика скорости применен тахогенератор (ТГ). Двигатель постоянного тока питается от управляемого тиристорного преобразователя.

Величина заданного перемещения Φ_3^* поступает от вычислительной машины более высокого уровня, либо хранится в блоке памяти микро-ЭВМ, которая работает в следующей последовательности:

а) вычисляет управляющее воздействие Ψ^* и коэффициенты корректирующих связей, на что ей требуется время $t_{\text{Упр}}$;

б) осуществляет спрос содержимого датчика положения;

в) выполняет алгоритм работы регулятора положения, на что затрачивается время $t_{\text{АЛГ}}$;

г) выдает информацию, которая хранится в течение периода квантования T во входных регистрах ПМА.

Время на спрос и выдачу информации можно положить равным нулю, тогда наименьший период квантования по времени

$$T = t_{\text{Упр}} + t_{\text{АЛГ}}.$$

Интервал квантования по уровню Δ_S (цена единицы младшего разряда датчика) определяется исходя из заданной точности работы системы

$$\Delta_S = \frac{2\pi}{Z},$$

где Z - число импульсов, выдаваемых ИД за один оборот вала двигателя.

Постоянная интегрирования разомкнутого контура регулирования положения T_n выбрана из условия /9/:

$$T_n = 2 \cdot (4T_M + \frac{T}{2}).$$

Структурная схема системы позиционного электропривода

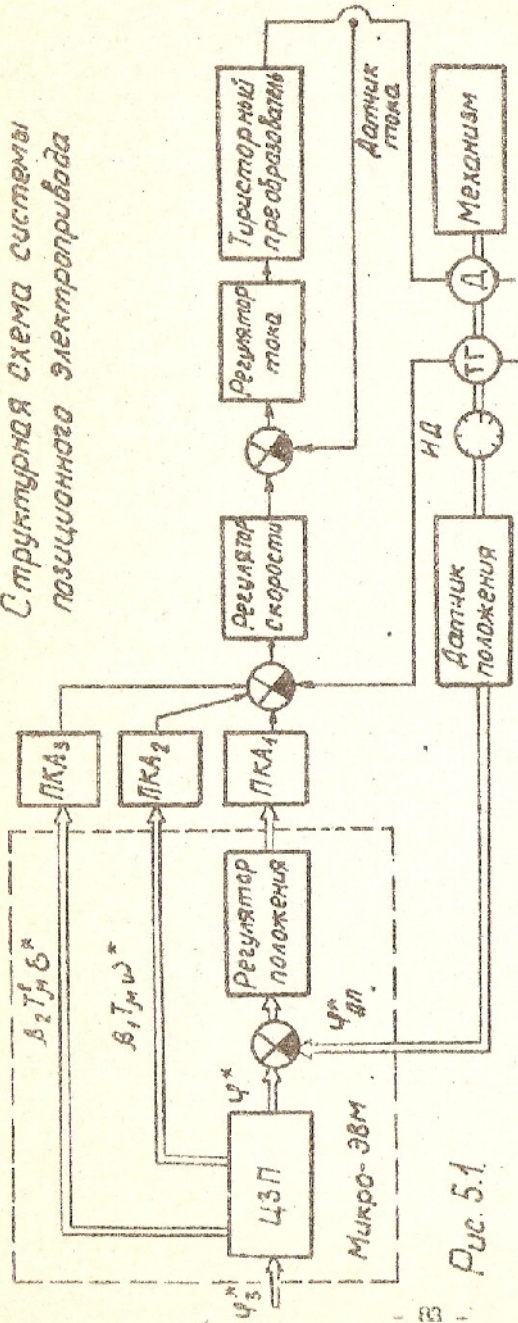
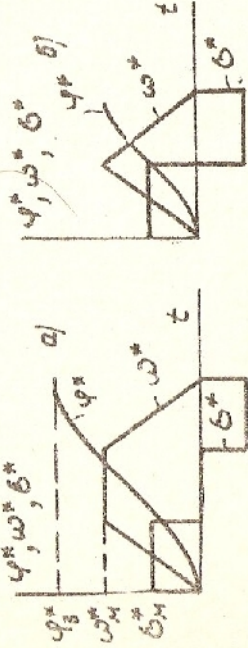


Рис. 5.1



Оптимальное по быстродействию
закон изменения $\varphi^*(t)$, $\omega^*(t)$, $\delta^*(t)$:
а - с участком установившегося движения;
б - без участка установившегося движения.

Рис. 5.2.

5.1. Состав и функциональное описание аппаратных средств микропроцессорной системы

Структура аппаратных средств микропроцессора для управления позиционным электроприводом приведена на рис.5.3. Процессор выполнен с конвейерной организацией. В его состав входят:

- операционный блок на 32 разряда;
- блок микропрограммного управления на базе БИС КБ89ИКО1;
- память микрокоманд с организацией 512 х 32;
- конвейерный регистр (КР) на 25 разрядов.

В состав операционного блока (ОБ) микропроцессора входят 16 микросхем ЦПЭ и 2 микросхемы СУП. Через ОБ происходит связь микропроцессора с преобразователями код-аналог и датчиком положения, которые непосредственно подключены к объекту управления. Выходные шины адреса А и данных Д поступают в блок памяти микрокоманд и данных (ОП).

Управляющая память микрокоманд выполнена на 4 микросхемах типа К556РТ5, представляющих собой ПЗУ емкостью 4096 бит с организацией 512x8. Запись микропрограмм в ПЗУ этого типа производится путем переноса информации с перфоленты на микросхемы ПЗУ с помощью специального устройства.

Конвейерный регистр выполнен на базе микросхем К155ИР1, содержащих четыре D-триггера со срабатыванием по фронту. Наличие КР позволяет совместить выборку следующей микрокоманды с выполнением текущей и этим повысить быстродействие системы.

В управляющей памяти "запиты" микропрограммы алгоритма управления. Каждая микропрограмма состоит из последовательности микрокоманд. Формат микрокоманды 32 разряда. На рис.5.4 показана разбивка слова микрокоманды на управляющие поля и микросхемы ПЗУ. Здесь же указана разрядность каждого управляющего поля, а также адрес узла системы куда оно поступает. Кроме стандартных полей УА, F, УС в слове микрокоманды введены дополнительные поля:

ОСТ - одноразрядное поле программного останова системы;

УС - одноразрядное поле условной синхронизации ЦПЭ;

К - четырехразрядное поле маски позволяет выбирать младший, знаковый разряд слова, модуль слова, два старших или два младших байта слова или все слова;

Структурная схема аппаратных средств микроБИЧСИтеля

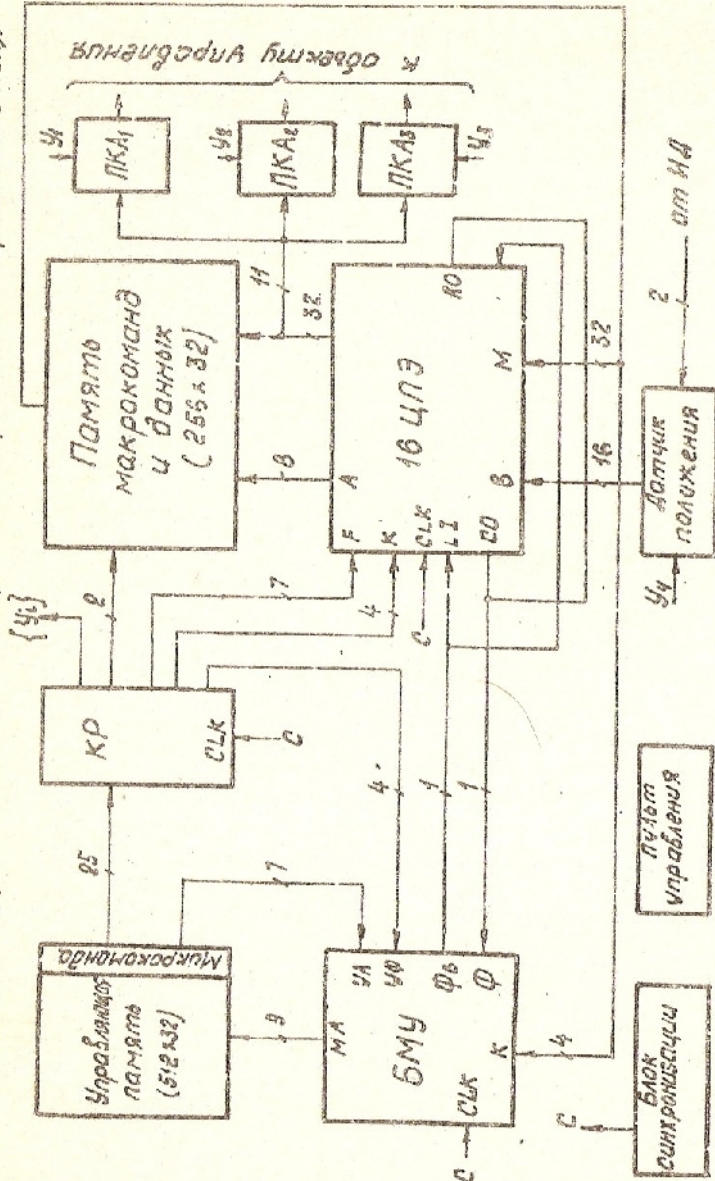


Рис. 5.3

ЗИ - одноразрядное поле загрузки адреса микрокоманды с шины команд БМУ;

ОП - двухразрядное поле управления блоком памяти макрокоманд и данных. Один разряд слова используется как код выборки кристалла памяти, другой - определяет режим работы памяти (запись или чтение).

ЦАП - трехразрядное поле управления тремя преобразователями код-аналог;

ДИ - одноразрядное поле управления вводом информации с датчика в блок ЦЭ;

СЛ - одноразрядное поле для организации режима "сложения" микрочислителя.

Основная память микрочислителя подразделяется на память макрокоманд и память данных. Память макрокоманд предназначена для хранения алгоритмов управления, записанных на уровне макрокоманд. Она состоит из одной микросхемы ПЗУ К556РТ4 (256x4) и одной микросхемы ОЗУ К155РУ2 (16x4). Выходы обоих микросхем объединяются с помощью монтажного ИЛ и подаются на 4 младшие разряды шины команд БМУ, (на 4 старшие разряды информация поступает с тумблерного регистра пульта управления). Объединение по выходу микросхем ОЗУ и ПЗУ этих типов возможно, так как они выполнены по схеме с открытым коллектором. Использование для управления шиной К БМУ тумблерного регистра дает возможность оперативно переходить, в случае необходимости, на аварийные или диагностические программы путем задания соответствующих кодов с пульта управления.

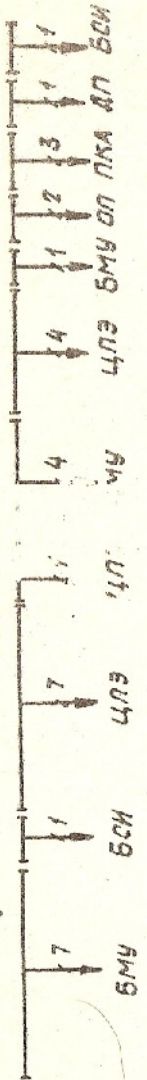
Память данных предназначена для хранения констант и промежуточных результатов в ходе выполнения программы. Выход памяти данных (32 разряда) подключен к шине М массива ЦЭ. Также как и память макрокоманд, она состоит из двух частей: 8 микросхем ПЗУ К556РТ4 и 8 микросхем ОЗУ К155РУ2.

Очевидно, что для адресации 256 ячеек основной памяти достаточно иметь 8-разрядную шину адреса. Адрес можно задавать с ОБ либо с пульта управления в зависимости от режима работы микрочислителя. В оперативную часть блока основной памяти информация также может быть записана с шиной Д ОБ либо с пульта управления.

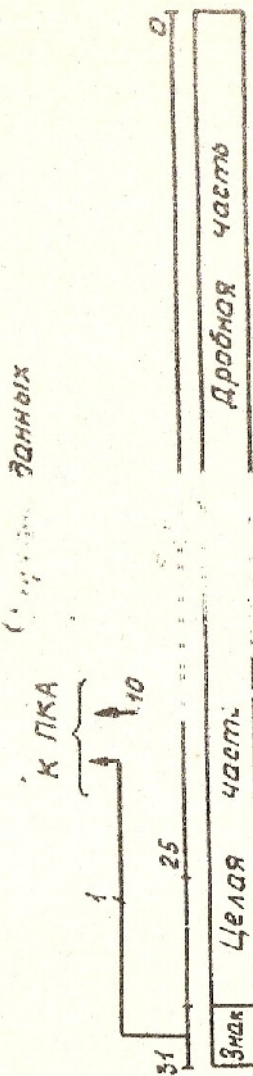
Формат данных, с которыми оперирует микрочислитель, приведен на рис.5.5. Числа представляются в дополнительном коде, причем 15 разрядов отводятся под целую часть числа и 16 - под дробную. Максимально возможный код числа соответствует предельному значению угла

Φαραίη μητέραντει

84	7344	23	24	7345	16		7346	8?	7347	0
	4A		02T		F		YC		K	AM ON WAT AN CN



Aug. 5. 4.



- 87 -

поворота вала двигателя, который может быть отработан системой. Дробная часть числа необходима для достижения требуемой точности вычислений. На рис.5.5 показаны также разряды данных, по которым происходит связь с ПКА и датчиком положения.

Для проведения наладочных и ремонтных работ, для задания режимов работы микровычислителя имеется пульт управления (ПУ), внешний вид передней панели которого приведен на рис.5.6.

Задание адреса ячейки памяти макрокоманд и данных производится с помощью наборных переключателей типа ШИ-ЛВ /3/. Причем при нажатии на кнопку ЗАН.А набранный на переключателях код переписывается в реверсивный счетчик адреса, выполненный на микросхемах К155ИБУ. С помощью кнопок "+I" и "-I" имеется возможность увеличивать или уменьшать содержимое счетчика адреса на единицу.

Наборной 16-тичный переключатель "Набор команды" служит для задания кодов макрокоманд микро-ЭВМ при работе с блоком оперативной памяти. Запись набранного кода команды производится при нажатии кнопки записи команды (ЗП.К).

Кнопка "ЗМ" необходима для начальной загрузки кода команды в ЕМУ.

Для записи необходимой информации при работе с ОЗУ данных ПУ снабжен 16-тичной клавиатурой. При нажатии на одну из клавиш (0, I, .., F) поступает соответствующий сигнал на шифратор клавиатуры, с выхода которого вырабатывается 4-разрядный код числа и импульс сопровождения. Импульс сопровождения увеличивает на I содержимое счетчика клавиатуры, которое выведено на индикацию ПУ и одновременно подается на дешифратор. Выходы дешифратора определяют номер 4 разрядов регистра информации, в которые произойдет запись поступившего кода числа. После восьми нажатий на клавиши клавиатуры регистр информации на 32 разряда будет полностью заполнен. Запись его содержимого может быть осуществлена при нажатии кнопки "ЗП.Д". Разрядность слова макрокоманды совпадает с разрядностью шины данных блока ЦПЭ. С целью экономии светодиодов АЛЭ10Л индикация слова макрокоманды и шины данных производится поочередно. Это делается в ПУ путем внешней коммутации с помощью специального переходника.

С помощью кнопок "Сброс", "Пуск" и "Останов" имеется возможность установки узлов микровычислителя в исходное положение, а также осуществить пуск и останов узла синхронизации.

Тумблер "ТИ" задает режим работы микро-ЭВМ: автоматический или ручной.

Тумблер "ЧПУ" определяет тип блока (ОЗУ/ПЗУ) в режиме чтения информации с ПУ.

Кнопка "МК" дает возможность просматривать работу системы в режиме поодиночного выполнения микрокоманд.

Для индикации состояния останова микро-ЭВМ на лицевой панели имеется соответствующий светодиод.

Все тумблеры и кнопки ПУ снабжены схемами, позволяющими исключить дребезг контактов. Подробную информацию о схемах подключения элементов пульта управления можно найти, например, в работе [3].

Для формирования аналоговых сигналов управления необходимы преобразователи код-напряжение (ПКА). Основные характеристики некоторых типов ПКА в интегральном исполнении приведены в табл.5.1 [15].

Таблица 5.1

Основные электрические параметры ПКА

Параметр	Тип микросхем ПКА			
	K252ПА1 K252ПА2	K252ПАЗ	K572ПА1	K594ПА1
Количество разрядов, не более	8	10	10	12
Относительная погрешность, %	$\pm 0,4$	$\pm 0,1$	$\pm 0,1$	$\pm 0,025$
Суммарный входной ток разрядов, мА	$5 \pm 0,25$	$5 \pm 0,25$	$1 \pm 0,2$	$2 \pm 0,2$
Время установления выходного, мкс	0,3	0,3	5	3,5

В рассматриваемой системе управления электроприводом постоянного тока в качестве ПКА были использованы микросхемы K572 ПА1. Режим преобразования цифровых сигналов обеспечивается за счет подключения к выходу ПКА операционного усилителя, выполняющего функцию сумматора тока. Работа преобразователя при подаче однополярного 10-разрядного входного кода может быть описана с помощью табл.5.2.

Внешний вид передней панели пульта управления

Индикация микроМини



Индикация шиной данных

Счетчик клавиатуры

• • •

Составов

•

Клавиатура

8	7	6	5	4	3	2	1	0
---	---	---	---	---	---	---	---	---

9	A	B	C	D	E	F	+1	-1
---	---	---	---	---	---	---	----	----

Набор команда

3	2	1
4		

Набор адреса

3 2 1

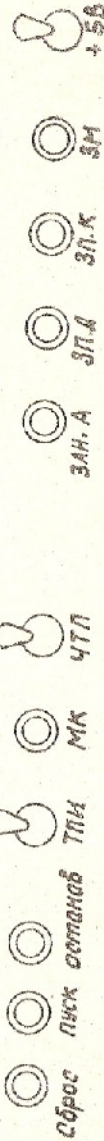


Таблица 5.2

Работа 10-разрядного ПКА при однополярном выходном коде

Входной код (10 разрядов)	Номинальное выходное напряжение
1111111111	$-U_{\text{оп}} \left(1 - \frac{1}{2^{10}}\right) = -\left(\frac{1023}{1024}\right) \cdot U_{\text{оп}}$
:	
1000000001	$-U_{\text{оп}} \left(\frac{1}{2} + \frac{1}{2^{10}}\right) = -\left(\frac{513}{1024}\right) \cdot U_{\text{оп}}$
1000000000	$-U_{\text{оп}} \left(\frac{1}{2}\right) = -\frac{U_{\text{оп}}}{2}$
0111111111	$-U_{\text{оп}} \left(\frac{1}{2} - \frac{1}{2^{10}}\right) = -\left(\frac{511}{1024}\right) \cdot U_{\text{оп}}$
:	
0000000001	$-U_{\text{оп}} \left(\frac{1}{2^{10}}\right) = -\frac{U_{\text{оп}}}{1024}$
0000000000	0

Как видно из табл.5.2, путем изменения величины и знака источника опорного напряжения ($U_{\text{оп}}$) можно изменять масштаб и знак выходного напряжения ($U_{\text{вых}}$).

Обычно напряжение на аналоговых входах объекта управления может изменяться в пределах $\pm 10V$. Для получения двухполарного выходного сигнала во входном коде добавляется еще один знаковый разряд. Схема выключания элементов преобразователя представлена на рис.5.7.

С микро-ЭВМ во входной регистр ПКА поступает 11-разрядный код, включая знаковый разряд. Входной регистр RG построен на триггерах со срабатыванием по фронту, например, на микросхемах К155ИР1, К155ИМ2. Запись информации в регистр происходит по фронту управляющего сигнала, поданного на вход "разрешение записи". Десять разрядов цифрового кода с выхода RG подаются на вход ЦАП (микросхема К572ПА1), а знаковый разряд - на затвор полевого транзистора V . Операционные усилители OY_1 и OY_2 выполнены на микросхемах К153УД1, причем OY_1 является сумматором токов ЦАП, а OY_2 обеспечивает получение двухполарного выходного сигнала в зависимости от состояния

полевого транзистора (открыт-закрыт).

Диоды D_1 и D_2 служат для защиты выходных шин микросхем ЦПЛ из-за чрезмерного тока на подложку, который мог бы течь от выхода ОУ, если потенциалы шин стали бы ниже $-0,78 / 20\%$. В качестве D_1 и D_2 рекомендуется использовать быстродействующие диоды Шоттки, например, КД514.

Переменными резисторами R_1 и R_2 производится точная подстройка масштаба выходного напряжения Цых при настройке преобразователя, после чего на плате устанавливаются постоянные резисторы с номиналами полученных сопротивлений. Для работы элементов преобразователя необходимо иметь три источника питающих напряжений $+12\text{B}$, -12B и $+5\text{B}$.

Блок синхронизации предназначен для формирования и выдачи в блоки микро-ЭВМ соответствующих синхронизирующих сигналов, а также задания режимов работы микропроцессора. Временная диаграмма работы блоков микро-ЭВМ приведена на рис.5.8, на котором введены следующие обозначения:

С - синхросигнал, подаваемый на входы CLK блоков ЕМУ, ЦПЭ и конвейерного регистра;

ПМК - память микрокоманд;

ПК - память макрокоманд.

С задержкой времени $T_{бму}$ ЕМУ формирует на выходнойшине МА адрес очередной микрокоманды. Выбранная по этому адресу микрокоманда появится на выходе ПМК с задержкой $T_{пмк}$, необходимой для срабатывания элементов ПЗУ (приблизительно 70 нс). Однако запись новой микрокоманды в ЦП произойдет лишь по заднему фронту синхросигнала С с задержкой на время срабатывания микросхем К155ИР1 $T_{ср}$. После этого возможна работа ПК и других блоков микро-ЭВМ, в которые поступают управляющие сигналы новой микрокоманды с конвейерного регистра.

Работа комбинационной части блока ЦПЭ начинается по фронту синхросигнала С, а запись результата в АС или в один из регистров ФОН - по заднему фронту этого же сигнала. Результаты арифметических и логических операций оказываются задержанными на одну микрокоманду, что необходимо учитывать при использовании команд условных переходов.

Время T_d , необходимое для выполнения одной микрокоманды, выбрано равным 400 нс. Это вполне достаточно для нормальной работы всех блоков микро-ЭВМ. С помощью блока синхронизации имеется воз-

Схема включения 10-разрядного ПИА К572ПА1 при питании от внешней сети

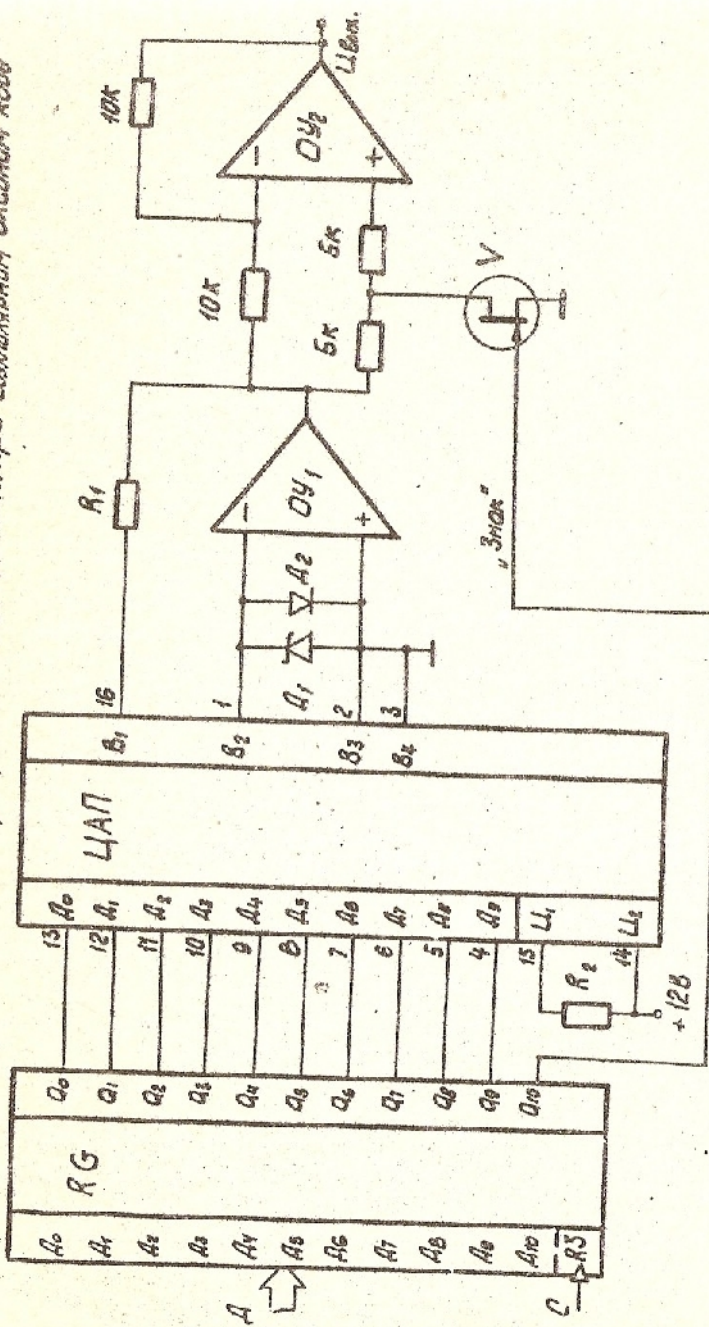


Рис. 5.7

можность задать режим работы микро-ЭВМ по одной микрокоманде, что очень важно при отладке алгоритмов и проведении ремонтных работ.

5.2. Программное обеспечение системы

Диаграмма одного цикла работы привода при отработке заданных перемещений приведена на рис.5.9. Величина перемещения рабочего органа механизма $\Delta\varphi_i^*$ на i -ом такте работы определяется

$$\Delta\varphi_i^* = \varphi_{ki}^* - \varphi_{ui}^*,$$

где φ_{ki}^* и φ_{ui}^* - соответственно заданное и исходное для данного такта работы положение рабочего органа механизма. Величина перемещения $\Delta\varphi_i^*$ отрабатывается системой за время Δt_i , в то же

$$\Delta t_i = t_{ki} - t_{ui},$$

где t_{ki} и t_{ui} - соответственно моменты времени окончания и начала работы привода на i -ом такте.

После отработки i -го перемещения система находится в состоянии "слежения" (интервалы времени $t_{ui+1} - t_{ki}$) и ждет прихода команды на отработку следующего ($i+1$)-го перемещения. Причем после отработки i -го перемещения рабочий орган займет новое положение, так что $\varphi_{ui+1}^* = \varphi_{ki}^*$. Коды заданных перемещений $\varphi_{k1}^*, \varphi_{k2}^*, \dots$ хранятся в блоке памяти микропроцессора, либо могут поступать от мини-ЭВМ более высокого уровня.

Если $\Delta\varphi_i^* > 0$, отработка перемещения производится системой в направлении, принятом за положительное, в противном случае - в противоположном направлении. При этом вид диаграммы скорости двигателя определяется, исходя из сравнения модулей величин заданного перемещения $|\Delta\varphi_i^*|$ и, так называемого, критического пути $|\Delta\varphi_{kp}|$, равного

$$|\Delta\varphi_{kp}| = \frac{\delta_m \cdot t_{kp}^2}{2},$$

где δ_m - максимальный код ускорения привода;

t_{kp} - момент времени достижения скорости двигателя ω_m^* установленвшегося значения ω_m^* .

Если $|\Delta\varphi_i^*| \leq |\Delta\varphi_{kp}|$, то скорость вращения вала двигателя будет изменяться по треугольному закону, в противном случае - по трапециoidalному закону с участком равномерного движения (рис. 5.10).

Временная диаграмма работы микро-ЭВМ

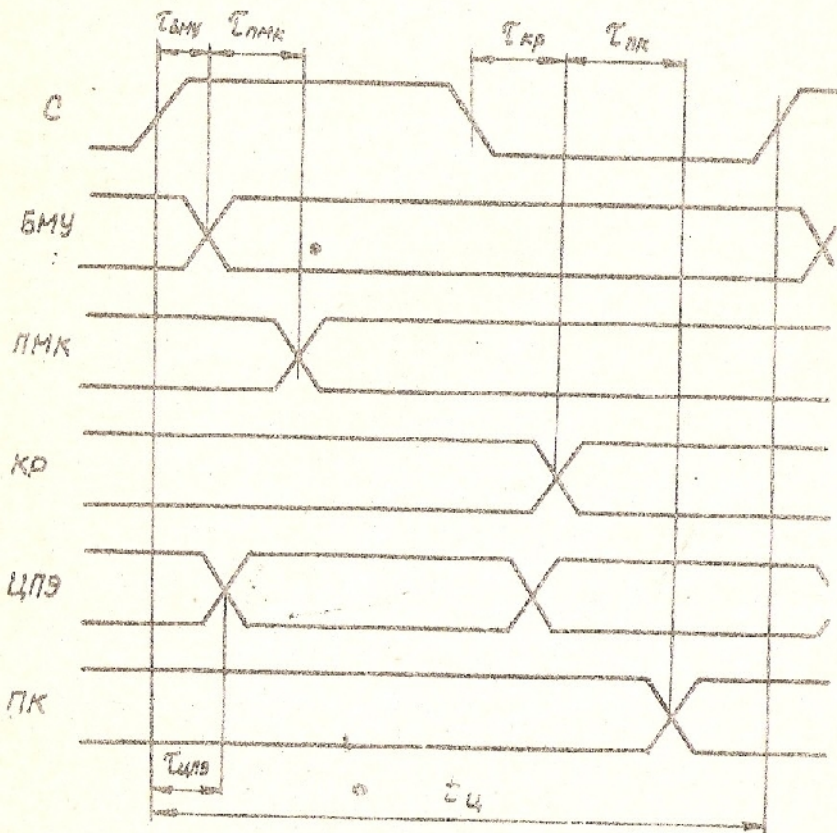


Рис. 5.8.

Один цикл работы системы завершается после отработки N перемещений. После этого рабочий орган механизма занимает исходное положение φ_0^* и все повторяется заново.

В соответствии с изложенным выше алгоритмом микро-ЭВМ должна выполнять следующие действия:

1. Определять величину и знак перемещения $\Delta\varphi_i^*$, а также вид тахограммы скорости ω^* на каждом i -ом такте работы системы.

2. Вычислять и выдавать в аналоговую часть системы управления через преобразователи код-напряжение значения ошибки по перемещению и корректирующих сигналов;

3. До прихода команды на отработку следующего перемещения не давать возможности приводу изменить занятое положение за счет разного рода внешних воздействий, т.е. находиться в состоянии схвата.

Рассмотрим алгоритм работы микро-ЭВМ при отработке одного перемещения. Для этого воспользуемся диаграммами изменения $\varphi^*(t)$, $\omega^*(t)$ и $\delta^*(t)$, приведенными на рис.5.10. Угол поворота $\varphi^*(t)$ связан с угловой скоростью вращения двигателя $\omega^*(t)$ зависимостью

$$\varphi^*(t) = \int \omega^*(t) dt,$$

из которой следует, что $\varphi^*(t)^*$ можно вычислять как площадь, ограниченную кривой $\omega^*(t)$. С учетом этого работа привода на участке разгона может быть описана следующей системой уравнений

$$\delta^* = \delta_m^*;$$

$$\omega^* = \omega^* + \omega_o^*;$$

$$\varphi_n^* = \varphi_n^* + \varphi_o^*;$$

$$\varphi^* = \varphi^* + \varphi_n^*,$$

где ω_o^* и φ_o^* - элементарные фиксированные приращения кодов скорости и угла поворота вала двигателя соответственно;

φ_n^* - текущее значение кода перемещения на N -ом участке (на первом участке $\varphi_n^* = -\varphi_o^*/2$).

Каждый участок работы ограничен интервалом дискретности T . Значение ω_o^* соответствует изменению скорости ω^* за интервал времени T при разгоне привода с ускорением δ_m^* . За этот же интервал

$$\varphi_o^* = \omega_o^* \cdot T,$$

Диаграмма работы привода при отработке заданных перемещений

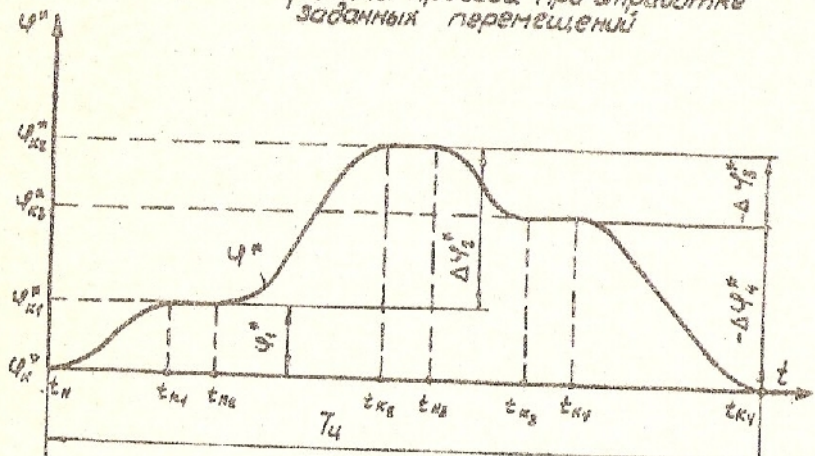


Рис. 5.9

Диаграммы для определения $\dot{\varphi}^*(t)$, $\omega^*(t)$ и $\delta^*(t)$

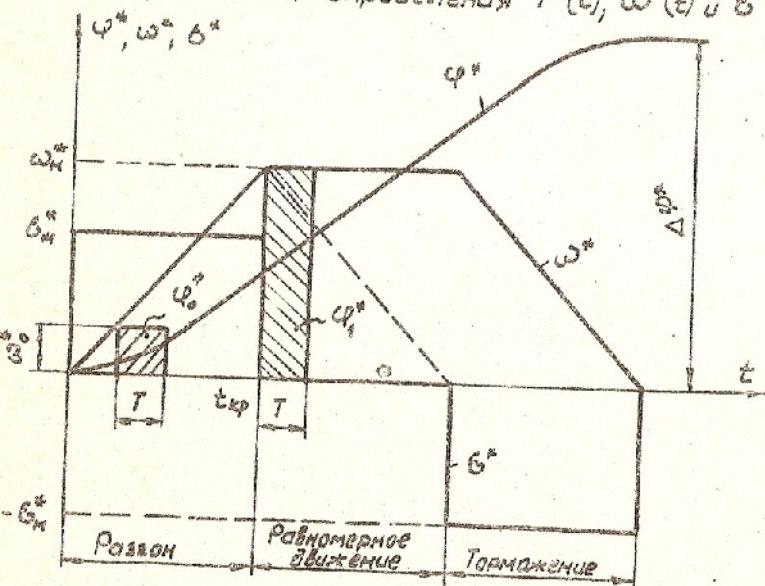


Рис. 5.10

Переход с участка разгона на участок равномерного движения произойдет при достижении ω'' значения ω_m^* . На этом участке работу привода можно описать системой уравнений

$$\begin{aligned}\delta^* &= 0; \\ \omega'' &= \omega_m^*; \\ \varphi'' &= \varphi^* + \varphi_1^*,\end{aligned}$$

где φ_1^* - элементарное фиксированное значение кода перемещения, равное

$$\varphi_1^* = \omega_m^* \cdot T.$$

На участке торможения привода имеем

$$\begin{aligned}\delta^* &= -\delta_m^*; \\ \omega'' &= \omega^* - \omega_o''; \\ \varphi_o'' &= \varphi_o'' - \varphi_o^*; \\ \varphi'' &= \varphi^* + \varphi_o''.\end{aligned}$$

Блок-схема программы отработки заданного перемещения показана на рис.5.II. Значение величины ошибки рассогласования по положению $\Delta\varphi_{\text{оп}}^*$ определяется по формуле

$$\Delta\varphi_{\text{оп}}^* = \varphi^* - \varphi_{\text{дл}}^*$$

где $\varphi_{\text{дл}}^*$ - действительное положение рабочего органа, определенное датчиком положения.

Программная задержка Δt необходима для изменения периода дискретности системы Т с целью задания кодов ω_o^* , φ_o'' и φ_1^* , удовлетворяющих требованиям точности.

Программа отработки перемещений может быть записана на уровне макрокоманд в ОЗУ или ПЗУ, команд. Тип блока памяти определяется положением соответствующего тумблера на лицевой панели пульта управления. При использовании ОЗУ объем программы не должен превышать 16 ячеек.

В табл.5.3 показано распределение ячеек оперативной памяти данных и РОН ЦПЭ. При составлении таблицы были введены следующие обозначения:

СЧАК - счетчик адреса макрокоманды. Его содержимое задает адрес текущей макрокоманды.

- СЧАП - счетчик адреса перемещений. Указывает адрес перемещения $\varphi_{k_1}^*$ на i -ом такте работы системы.
- АНПР - адрес начала программы. Задает адрес первой макрокоманды алгоритма управления.
- АНП - адрес начала перемещений. Указывает адрес первого перемещения $\varphi_{k_1}^*$.

Таблица 5.3

Распределение ячеек памяти

Оперативная память данных		Регистры общего назначения ЦПЭ	
Адрес	Содержимое	Адрес	Содержимое
0	СЧАК	R ₀	δ_i^*
1	СЧАП	R ₁	ω_o^*
2	АНПР	R ₂	ω_n^*
3	АНП	R ₃	φ_o^*
4	δ^*	R ₄	φ_i^*
5	ω_o^*	R ₅	φ_{kp}^*
6	ω_n^*	R ₆	φ^*
7	φ_o^*	R ₇	φ_n^*
8	φ_i^*	R ₈	φ_k^*
9	φ_{kp}^*	R ₉	ω^*

Коды перемещений $\varphi_{k_1}^*, \varphi_{k_2}^*, \dots$ должны быть расположены в последовательных ячейках ПЗУ или ОЗУ данных. После отработки i -го перемещения содержимое СЧАП увеличивается на единицу, т.е. указывает адрес следующего перемещения.

Константы $\delta_i^*, \omega_o^*, \dots, \varphi_{kp}^*$ могут быть "защиты" в соответствующих ячейках ПЗУ данных. Запись этих констант в РСМы ЦПЭ производится на уровне микрокоманд в тех макрокомандах, где это необходимо.

Как уже отмечалось выше, управляющая программа носит циклический характер. После завершения одного цикла работы восстанавливается содержимое счетчиков СЧАК и СЧАП и управление передается на начало программы.

Алгоритм работы микропроцессора состоит из отдельных следующих друг за другом макрокоманд. Перечень макрокоманд и их начальные адреса в управляющей памяти приведены в табл. 5.4.

Таблица 5.4.

Перечень макрокоманд системы управления

№ п/п	Наименование макрокоманды	Начальный адрес (16 с.с.)	Количество ическ управляющего ПЗУ
1.	Отработка алгоритма	0-3	136
2.	Восстановление	0-8	16
3.	Загрузка констант	0-А	29
4.	Слежение	0-С	37

Каждая текущая макрокоманда завершается выборкой следующей макрокоманды из памяти команд. Для этого из нулевой ячейки ОЗУ ланых извлекается СЧАК, увеличивается на единицу и снова засыпается в память и в регистр адреса ЦПЭ. По этому адресу из памяти команд выбирается и подается на шину команд БМУ код макрокоманды. При подаче сигнала ЗМ (разряд слова микрокоманды) БМУ формирует начальный адрес новой макрокоманды.

Рассмотрим функции, выполняемые каждой макрокомандой.

Макрокоманда "Отработка алгоритма" по адресу СЧАП производит выборку очередного кода перемещения Φ_k и отработку его в соответствии с блок-схемой рис.5.11, а СЧАП увеличивает на единицу.

Макрокоманда "Восстановление" загружает СЧАК и СЧАП начальными значениями, расположенными во второй и третьей ячейках ОЗУ данных соответственно и передает управление на начало программы.

Макрокоманда "Загрузка констант" производит пересылку констант $b_m, \omega_0, \dots, \Phi_k$ из ПЗУ данных в соответствующие ячейки ОЗУ данных.

Макрокоманда "Следение" с точностью до единицы младшего разряда поддерживает такое положение выходного вала двигателя, которое установилось после отработки очередного перемещения. Выход системы из состояния "слежения" возможен лишь при поступлении внешнего сигнала в блок синхронизации. Это повлечет за собой переход к выполнению следующей макрокоманды. В качестве внешнего сигнала можно использовать сигнал "пуск" с пульта управления микро-ЭВМ либо сигнал, формируемый каким-либо внешним устройством.

Перед запуском программы с пульта управления во вторую и третью ячейки памяти данных необходимо записать начальные значения СЧАК и СЧАП, набрать начальный адрес макрокоманды "Восстановление" и перевести микропроцессор в автоматический режим

Блок-схема программы определения заданного перевешивания

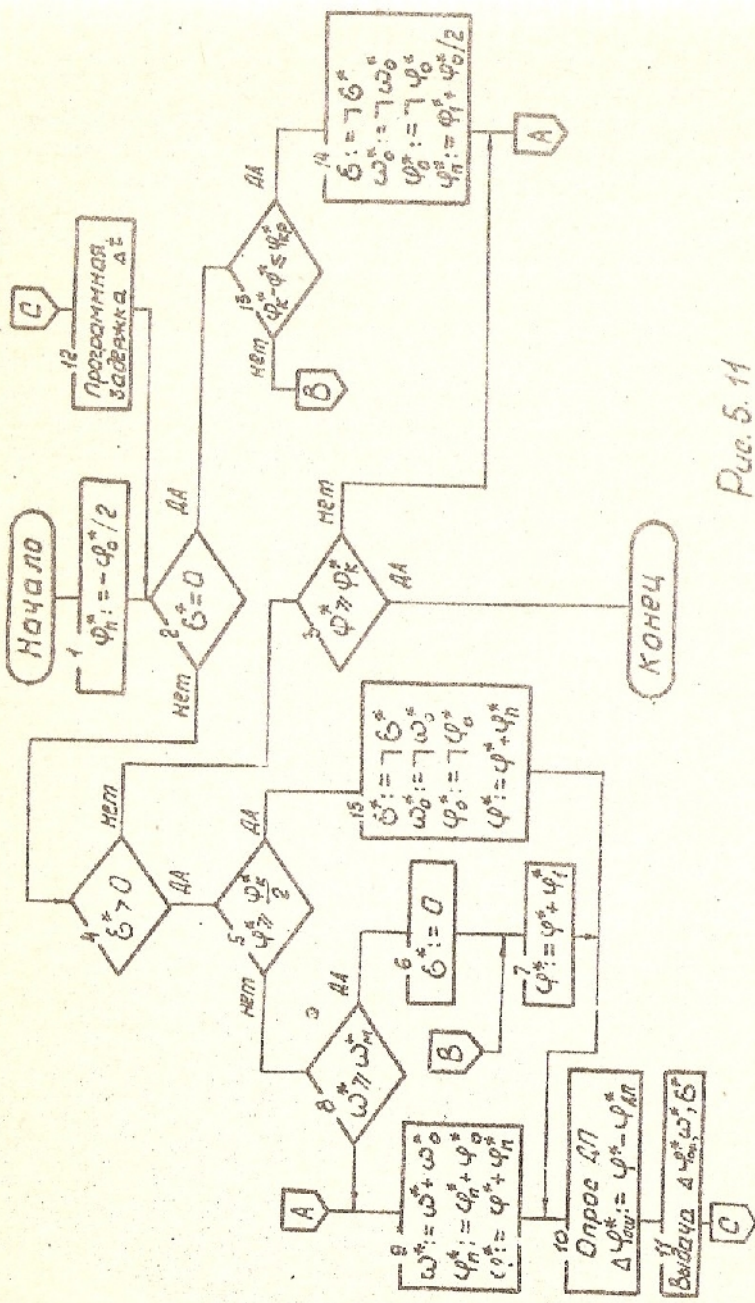


Рис. 5.11

работы. Программа для отработки трех перемещений может быть представлена в виде цепочки макрокоманд
 $(0-A), (0-B), (0-C), (0-B), (0-C), (0-B)(0-C), (0-B)$.

В качестве примера на рис.5.12 приведен фрагмент программы макрокоманды "Отработка алгоритма". Все макрокоманды занимают в управляющей памяти 218 ячеек. Интервал квантования системы по времени Т составляет около 50 мкс, поэтому значения корректирующих коэффициентов β_1 и β_2 принимались такими же, как и в идеализированной непрерывной системе ($\beta_1 = 4,75$; $\beta_2 = 11,3$) /9/.

Исследования, выполненные на экспериментальном стенде электропривода постоянного тока, показали правильность принятых решений и разработанных микропрограмм. Осциллограмма кривой ошибки рассогласования по положению, имеющей место на выходе ПКА, по форме близка к кривой осциллограммы скорости привода, причем максимум ошибки имеет место на участке равномерного движения привода с постоянной скоростью. Перерегулирование тока якоря двигателя не превышает 5-7%. Применение корректирующих связей β_1 и β_2 позволяет уменьшить время первого согласования тока якоря с установленным значением примерно в два раза. Уменьшается при этом и максимально возможная ошибка воспроизведения заданного закона движения.

Установка титановых магнитометров "Отработка алгоритма								
Метод	№	Адрес 16СС	Операция ЦПУ (F)	Управ. Р/Д	дополн. поля	Числ. след. адресов	слв. алг. 16С.С.	Примечание
	START	1	D-8	NOP		JCC	C-B	
		2	E-8	TER (R0)		TCR	C-1	
		3	C-1	NOP		TFL	C-2/3	ЕСЛУ $\dot{\omega}^e = 0$ М1, ИНОЧЕ М2
M1	4	C-2	ILR (RB)		K1111	JCR	C-5	
	5	C-5	SDR (T)	FF1	K1111	JCC	D-5	
	6	D-5	ILR (R6)			TCR	D-6	
	7	D-6	ALR (T)		K1111	JCR	D-7	($\dot{\omega}^e + \dot{\omega}_k^e$) > $\dot{\omega}_k^e$
	8	D-7	ILR (RB)			TCR	D-8	то М3, ИНОЧЕ
	9	D-8	CIA (AC)	FF1		TCR	D-9	М4
	10	D-9	ALR (T)		K1111	JCC	C-9	
	11	C-9	NOP			TFL	C-A/B	
M4	12	C-A	CLR (T)			TCR	C-C	
	13	C-C	LMI (T)			TCR	C-7	
	14	C-7	NOP		3M	TER	D-B	
M3	15	C-8	CLR (T)			TCR	C-D	
	16	C-D	ILR (T)	FF1		TCR	C-E	
	17	C-E	LMI (T)			TCR	C-F	
	18	C-F	NOP		3M	TER	D-8	
M2	19	C-3	TER (R0)		YC, K1000	TCR	C-G	ЕСЛУ $\dot{\omega}^e > 0$ М6,
	20	C-6	NOP			TFL	D-2/3	ИНОЧЕ М6
M5	21	D-2	ILR (RB)			TCR	D-0	
	22	D-0	SRA (AC)			JCC	C-0	
	23	D-0	CIA (AC)	FF1		JCC	E-0	
	24	E-0	ALR (R6)		YC, K1111	TCR	E-C	ЕСЛУ $\dot{\omega}^e - \dot{\omega}_k^e > 0$
	25	E-C	NOP			TFL	D-A/B	М7, ИНОЧЕ М8
M8	26	D-A	ILR (R8)			TCR	D-C	
	27	D-C	ALR (R9)		YC, K1111	TCR	D-D	
	28	D-D	NOP			TFL	E-A/B	
M9	29	E-A	CLR (AC)			TCR	E-5	
	30	E-5	ILR (AC)	FF1		TCR	E-6	
	31	E-6	ALR (AC)		K1111	TCR	E-7	
	32	E-7	LMI (AC)			TCR	E-8	
	33	E-8	NOP		3M	TER	D-B	
M10	34	E-8	NOP			JCC	F-B	
	35	F-B	NOP			TCR	F-A	
	36	F-A	NOP			JCC	C-A	
M7	37	D-B	CLR (AC)			TCR	D-E	
	38	D-E	ILR (AC)	FF1		TCR	D-F	
	39	D-F	ALR (AC)		K1111	JCC	E-F	
	40	E-F	ALR (AC)		K1111	TCR	E-E	
	41	E-E	LMI (AC)			TCR	E-D	
	42	E-D	NOP		3M	TER	D-B	
M6	43	D-3	ILR (RB)			TCR	D-1	
	44	D-1	CIA (AC)	FF1		JCC	E-1	ЕСЛУ ($\dot{\omega}^e - \dot{\omega}_k^e > 0$
	45	E-1	ALR (R6)		YC, K1111	JCC	F-1	М11, ИНОЧЕ М12
	46	F-1	NOP			TFL	E-2/3	
M12	47	E-8	NOP			TER	E-A	
M11	48	E-S	CLR (AC)			JCC	F-3	
	49	F-3	ILR (AC)	FF1		TCR	F-2	
	50	F-2	ALR (AC)		K1111	JCC	10-2	
	51	10-2	ILR (AC)	FF1		TCR	10-1	
	52	10-1	LMI (AC)			TCR	10-0	
	53	10-0	NOP		3M	TER	D-B	

ПРИКНИЧНЫЙ УКАЗАТЕЛЬ РЕКОМЕНДОВАННОЙ ЛИТЕРАТУРЫ

1. Аналоговые и цифровые интегральные схемы. /Под ред. С.В.Акубовского. - М.: Сов.радио, 1979. - 336 с.
2. Балашов Е.П., Пузанков Д.В. Микропроцессоры и микропроцессорные системы: Учебное пособие для вузов / Под ред. В.В.Смолова. - М.: Радио и связь, 1981. - 328 с.
3. Башгров Е.А., Губарь В.В. Схемотехника микропроцессорных ЭВМ и разработка микрокомпьютеров методами программной имитации: Учебное пособие. - Донецк, ДГИ, 1981. - 112 с.
4. Еерезенко А.И., Корягин Л.Н., Назарьян А.Р. Микропроцессорные комплексы повышенного быстродействия. - М.: Радио и связь, 1981. - 168 с.
5. Вайда Ф., Чакань А. Микро-ЭВМ. Пер.с венгер. / Под ред. В.В.Сташина. - М.: Энергия, 1980. - 360 с.
6. Каган В.М., Сташин В.В. Микропроцессоры в цифровых системах. - М.: Энергия, 1979. - 192 с.
7. Калашников В.И., Губарь В.В., Старостин С.С. Проектирование микропроцессорных систем электропривода. - 4 Fachtagung Elektroantriebstechnik und Elektroautomatisierungstechnik. Magdeburg, April 1981, s. 71-76.
8. Клингман Э. Проектирование микропроцессорных систем. Пер. с англ. / Под ред. С.Д.Пашкеева: - М.: Мир, 1980. - 575 с.
9. Коцегуб П.Х., Губарь В.В. Цифроаналоговая система позиционного электропривода с задатчиком положения. - Изв.вузов. Электромеханика, 1983, № 1, с.123-128.
10. Лабедев Е.Д. и др. Управление вентильными электроприводами постоянного тока. - М.: Энергия, 1970.-199 с.
- II. Материалы XXVI съезда НИСС. - М.: Политиздат, 1981. - 223 с.
12. Методические указания по курсу "Особенности конструкций зарубежных ЭВМ". - Донецк: ДГИ, 1981. - 52 с.
13. Микропроцессорные комплексы интегральных схем: Состав и структура: Справочник / В.С.Борисов и др.; под ред. А.А.Васенкова, В.А.Шахнова. - М.: Радио и связь, 1982. - 192 с.
14. Микро-ЭВМ. Под ред. А.Дирксена. Пер.с англ./ Под ред. В.В.Сташина. - М.: Энергоиздат, 1982. - 328 с.

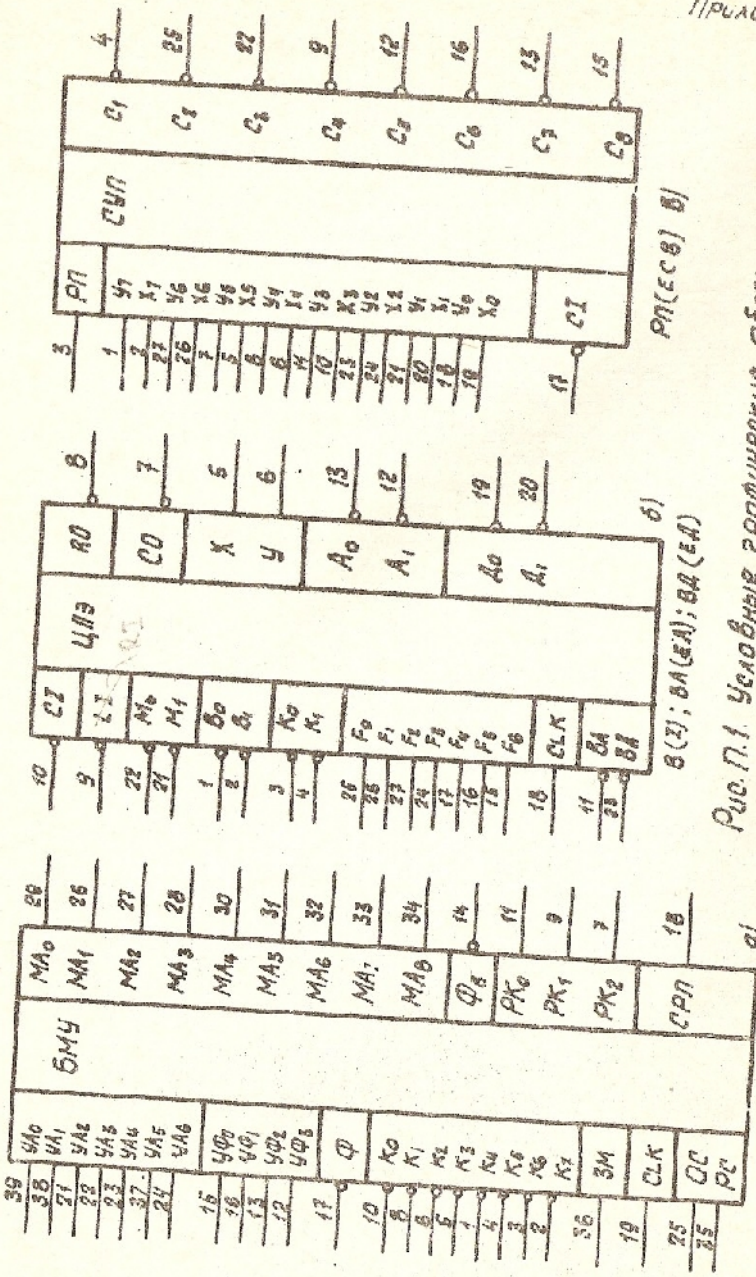
16. Перальцутер В.И., Соловьев А.К. Цифровые системы управления тиристорным электроприводом. - К.: Техника, 1983. - 104 с.
16. Полупроводниковые запоминающие устройства и их применение / В.П.Андреев, В.В.Баранов, Н.В.Бекин и др.: Под ред. А.П.Гордона. - М.: Радио и связь, 1981. - 344 с.
17. Ратнер, Карнет, Гоф. Вычислительные модули в виде бинодальных БИС - новая эра в проектировании цифровой аппаратуры. - Электроника, № 18, 1974, с.25-36.
18. Соботка З., Стары Я. Микропроцессорные системы. Пер. с чешского под ред. В.В.Степанова. - М.: Энергомиздат, 1981. - 494 с.
19. Соусек В. Микропроцессоры и микро-ЭВМ. Пер. с англ./ под ред. Лягушкина А.И. - М.: Сов.радио, 1979. - 520 с.
20. Шило В.Л. Функциональные аналоговые интегральные микросхемы. - М.: Радио и связь, 1982. - 238 с.
21. Series 3000 Reference Manual. - Intel Corp., 1976, - 146р., ил.

Рис. П.1

б) $\theta(2); \theta(A(EA)); \theta_d(EA)$

Условные графические обозначения
закрепленного К589 серии:

а) $Y_A(AC); Y_M(EN_A); \Phi_S(FO)$
 $Y\Phi(FI); \theta^c(EN); \theta_K(KO)$
 $\varphi(FI); \rho_C(ERA);$



	C_1	C_2	C_3	C_4
A_1	4	16	64	256
A_2	2	8	32	128
A_3	5	25	125	625
A_4	11	121	1331	14641

$$\begin{array}{l} A(D_I); \\ B(D_{II}); \\ C(D_{III}); \end{array}$$

	CPI	$5MHz$	KHz										
7													
6	CPI												
5	CLK												
4		π_2											
3		π_1											
2		π_0											
1													
0													
4			$5MHz$										
3				KHz									
2					π_2								
1						π_1							
0							π_0						
7								$5MHz$					
6									KHz				
5										π_2			
4										π_1			
3										π_0			
2											$5MHz$		
1												KHz	
0													π_2

$$\begin{array}{l} A(D_I); \\ B(D_{II}); \\ C(D_{III}); \end{array}$$

Рис. 17.6. Условные графические обозначения элементов К589 серии (продолжение):

Земеритов К589 Серии (продолжение):

2-K589AN16; 2-K589AN26; 2-K589ANP12; 2-K589AK14.

F-группа	F_6	F_7	F_8
0	0	0	0
1	0	0	1
2	0	1	0
3	0	1	1
4	1	0	0
5	1	0	1
6	1	1	0
7	1	1	1

Рис. 7.2. Форматы F_6 и F_7 -групп титрографических ЦПЭ

R-группа	F_6	F_7	F_8
0	0	0	0
1	0	0	1
2	0	1	0
3	0	1	1
4	1	0	0
5	1	0	1
6	1	1	0
7	1	1	1

Обозн Функция	Функция	ЧПЭ
FF0	Видение на дальний Φ_3 , "0"	0
FF1	Видение на дальний Φ_3 с зеркалом	0
FF2	Видение на дальний Φ_3 зеркало/TE	1
FF3	Видение на дальний Φ_3 "1"	1

Обозн Функция	Функция	ЧПЭ
SCZ	Чтение изображения ЦПЭ по выходу ТГ	0
STZ	Чтение изображения ТГ по выходу ТГ	0
STC	Чтение изображения ТГ по выходу ТГ	1
HZ	Хранение ЦПЭ в ТГ	1

Рис. 7.3. Функции управления флагами

Функции управления адресом в микросхеме БИУ

Таблица 7.1

Номер функции перехода	Состояния управляемых входов				Адреса следую- щих строк				Адрес следую- щих команд					
	УA ₆	УA ₅	УA ₄	УA ₃	УA ₂	УA ₁	ЧA ₀	ЧA ₁	ЧA ₂	ЧA ₃	ЧA ₄	ЧA ₅	ЧA ₆	ЧA ₇
1 JCC Переход текущей команды	0	0	d ₁	d ₃	d ₂	d ₁	d ₀	d ₄	d ₅	d ₄	d ₃	d ₂	m ₃	m ₂
2 JZR Переход в начало строки	0	1	0	d ₃	d ₂	d ₁	d ₀	0	0	0	0	d ₅	d ₄	d ₀
3 JCA Переход в текущей строке	0	1	1	d ₃	d ₁	d ₀	m ₈	m ₉	m ₁₀	m ₁₁	m ₁₂	d ₅	d ₄	d ₀
4 JCE Переход в текущей команде	0	1	1	0	d ₂	d ₁	d ₀	m ₅	m ₆	m ₇	m ₈	d ₅	d ₄	d ₀
5 JFL Переход по содержимому	1	0	0	d ₃	d ₁	d ₀	m ₅	m ₆	m ₇	m ₈	m ₉	m ₃	m ₂	m ₀
6 JCF Переход по содержимому	1	0	1	0	d ₃	d ₁	d ₀	m ₈	m ₉	d ₁	d ₀	m ₃	m ₂	f ₀
7 JZF Переход по содержимому	1	0	1	1	d ₂	d ₁	d ₀	m ₅	m ₆	d ₁	d ₀	m ₃	m ₂	c ₀
8 JPR Переход команда	1	1	0	0	d ₃	d ₁	d ₀	m ₈	m ₉	d ₁	d ₀	m ₃	m ₂	z ₀
9 JLL Переход по левой разрядам	1	1	0	1	d ₃	d ₁	d ₀	m ₅	m ₆	d ₁	d ₀	p ₃	p ₂	p ₀
10 JAL Переход по правым разрядам	1	1	1	1	d ₁	d ₀	m ₈	m ₉	m ₁₀	d ₁	d ₀	p ₃	p ₂	p ₀
11 JRX Переход по разрядам	1	1	1	0	d ₁	d ₀	m ₅	m ₆	m ₇	d ₁	d ₀	r ₁	r ₀	o ₀
12 EWA Функция загрузки	*	*	*	*	*	*	*	*	*	*	*	k ₃	k ₂	k ₁

d_i - информация на входе УA_i; P_i - состояния i-го разряда регистра команда;

m_j - состояния j-го разряда регистра адреса

1 0 S V S Z D
0 0 0 0 0 0 0 0

Микрофункции ЦПЭ

Таблица П.2

F-ep	R-ep	Операция ЦПЭ
0	1	$R_n + (ACAK) + CI \rightarrow R_n, AC$
	2	$M + (ACAK) + CI \rightarrow AT$
	3	$AT \wedge A(BAKL) \rightarrow R_n; L1 \vee L2 \vee (BNAK \wedge AAT) \rightarrow AT;$ $LAT \wedge A(BAKL) \vee LAT \wedge (BNAK) \rightarrow AT$
1	1	$K \vee R_n \rightarrow PA; R_n + K + CI \rightarrow R_n$
	2	$K \vee M \rightarrow PA; M + CI + K \rightarrow AT$
	3	$(AT \vee K) + ATA(K) + CI \rightarrow AT$
2	1	$(ACAK) - I + CI \rightarrow R_n$
	2	$(ACAK) - I + CI \rightarrow AT$
	3	$(BAK) - I + CI \rightarrow AT$
3	1	$R_n + (ACAK) + CI \rightarrow R_n$
	2	$M + (ACAK) + CI \rightarrow AT$
	3	$AT + (BAK) + CI \rightarrow AT$
4	1	$CIN(RNAACAK) \rightarrow CO; Rn \wedge (ACAK) \rightarrow R_n$
	2	$CIN(MAACAK) \rightarrow CO; MA(ACAK) \rightarrow AT$
	3	$CIN(BAACAK) \rightarrow CO; AT \wedge (BAK) \rightarrow AT$
5	1	$CIN(RnAK) \rightarrow CO; KA R_n \rightarrow R_n$
	2	$CIN(MAK) \rightarrow CO; KM \rightarrow AT$
	3	$CIN(ATAK) \rightarrow CO; KAAT \rightarrow AT$
6	1	$CIN(ACAK) \rightarrow CO; Rn \vee (ACAK) \rightarrow R_n$
	2	$CIN(MACAK) \rightarrow CO; M \vee (ACAK) \rightarrow AT$
	3	$CIN(BAK) \rightarrow CO; AT \vee (BAK) \rightarrow AT$
7	1	$CIN(RNAACAK) \rightarrow CO; R_n \ominus (ACAK) \rightarrow R_n$
	2	$CIN(MAACAK) \rightarrow CO; M \ominus (ACAK) \rightarrow AT$
	3	$CIN(ATBAK) \rightarrow CO; AT \ominus (BAK) \rightarrow AT$

CI-бит входа переноса; CO-бит выхода переноса
b, M-индексы, обозначающие MA, и ст. бит соответственны

Микрооперации ЦПЗ (продолжение) Таблица 11с

Л- нр.	К- од	Операция (CODE)	МНМ	Операция (RS+1)	МНМ
	1	$R_h + CI \rightarrow R_h, AC$	JLR	$AC + R_h + CI \rightarrow R_h, AC$	ALR
0	2	$M + CI \rightarrow AT$	ACM	$M + AC + CI \rightarrow AT$	AMA
	3	$ALR \rightarrow AO; AT \rightarrow ALR$ $LI \rightarrow AT$	SRA	См. табл. 11.2	
	1	$R_h \rightarrow PA; RA + CI \rightarrow R_h$	LMI	$H - PA; R_h - I + CI \rightarrow R_h$	DEM
1	2	$M \rightarrow PA; M + CI \rightarrow AT$	LMM	$H - PA; M - I + CI \rightarrow AT$	LAM
	3	$CI + AT \rightarrow AT$	CIA	$AT - I + CI \rightarrow AT$	ACA
	1	$CI - I \rightarrow R_h$	CSR	$AC - I + CI \rightarrow R_h$	SAR
2	2	$CI - I \rightarrow AT$	CSA	$AC - I + CI \rightarrow AT$	SAA
	3	См. CSA		$B - I + CI \rightarrow AT$	LBI
	1	$R_h + CI \rightarrow R_h$	INR	$AC + R_h + CI \rightarrow R_h$	AAR
3	2	См ACM	INA	См. AMA	
	3	$AT + CI \rightarrow AT$		$B + AT + CI \rightarrow AT$	AIA
	1	$CI \rightarrow CO; O \rightarrow R_h$	CLR	$CI\{V\}(R_h A C) \rightarrow CO; R_h A C \rightarrow R_h$	ANR
4	2	$CI \rightarrow CO; O - AT$	CLA	$CI\{V\}(M A C) \rightarrow CO; M A C \rightarrow AT$	ANM
	3	См. CLA		$CI\{V\}(A T A B) \rightarrow CO; A T A B \rightarrow AT$	ANI
	1	См. CLR		$CI\{V\}R_h \rightarrow CO; R_h \rightarrow R_h$	TZR
5	2	См. CLA		$CI\{V\}M \rightarrow CO; M \rightarrow AT$	LTM
	3	См. CLA		$CI\{V\}AT \rightarrow CO; AT \rightarrow AT$	TZA
	1	$CI \rightarrow CO; R_h \rightarrow R_h$	NOP	$CI\{V\}AC \rightarrow CO; R_h V AC \rightarrow R_h$	ORR
6	2	$CI \rightarrow CO; M \rightarrow AT$	LMF	$CI\{V\}AC \rightarrow CO; M V AC \rightarrow AT$	ORM
	3	См. NOP		$CI\{V\}B \rightarrow CO; B V AT \rightarrow AT$	ORI
	1	$CI \rightarrow CO; R_h \rightarrow R_h$	CMR	$CI\{V\}(R_h A C) \rightarrow CO; R_h @ AC \rightarrow R_h$	XNP
7	2	$CI \rightarrow CO; M \rightarrow AT$	LCM	$CI\{V\}(M A C) \rightarrow CO; M @ AC \rightarrow AT$	XNM
	3	$CI \rightarrow CO; AT \rightarrow AT$	CMA	$CI\{V\}(A T A B) \rightarrow CO; B @ AT \rightarrow AT$	XNI

K, B, M — информация на шинах K, B, M соответственно;
 AC — содержимое аккумулятора; AT — содержимое АБ или I ;
 $\{V\}$ — обозначение операции или — переноса.

Евгений Александрович Башков
Юрий Владимирович Губарь

Микропроцессорные системы повышенного быстродействия с
микропроцессорным управлением

Учебное пособие

Редактор

Д.И. Голос

Св.план, 1983, поз. 41

Подп. в печ. 4. II. 83. ЕП №07377. Формат 60x84/16. Бум.
Сфокетная печать. Усл.печ.л. 4,7. Уч.-изд.л. 5,0. Тираж 1.000 экз
Заказ 4546 . Цена 25 к.

Донецкий политехнический институт, 340066,
Донецк, ул.Артема,58

Межвуз.полиграфпредприятие при ДПИ, 340066, Донецк, ул.Артема,96
ш.уч.корп.